



OFICINA ESPAÑOLA DE PATENTES Y MARCAS

ESPAÑA



11 Número de publicación: 2 775 601

51 Int. Cl.:

C12Q 1/6827 (2008.01) C12Q 1/6883 (2008.01)

(12)

TRADUCCIÓN DE PATENTE EUROPEA

T3

(96) Fecha de presentación y número de la solicitud europea: 23.04.2015 E 15164907 (6)
 (97) Fecha y número de publicación de la concesión europea: 18.12.2019 EP 2937422

(54) Título: Un método y un kit para detectar de forma no invasiva mutaciones de genes patógenos de sordera fetal

(30) Prioridad:

23.04.2014 CN 201410174277

Fecha de publicación y mención en BOPI de la traducción de la patente: **27.07.2020**

73) Titular/es:

BERRY GENOMICS CO., LTD (100.0%) No. 19 Building, No. 6 Jingshun East Street, Chaoyang District Beijing 100015, CN

(72) Inventor/es:

LIU, YIQIAN; GUO, XIANCHAO; FU, YONG; HU, YUGANG; LI, TIANCHENG y ZHANG, JIANGUANG

(74) Agente/Representante:

VEIGA SERRANO, Mikel

Observaciones:

Véase nota informativa (Remarks, Remarques o Bemerkungen) en el folleto original publicado por la Oficina Europea de Patentes

DESCRIPCIÓN

Un método y un kit para detectar de forma no invasiva mutaciones de genes patógenos de sordera fetal

5 Sector de la técnica

10

15

20

La presente invención se refiere al campo del diagnóstico genético. Más específicamente, la presente invención se dirige a un método para detectar mutaciones de genes patógenos de sordera fetal. La presente invención también se refiere a un kit y a los usos del mismo para detectar mutaciones de genes patógenos de sordera fetal.

Estado de la técnica

La sordera es una enfermedad común que produce discapacidad y afecta a la salud en los seres humanos y es también una de las enfermedades genéticas más comunes en clínica. Según las estadísticas, Se produce un caso de disaudia entre cada 1000 nuevos nacimientos en el mundo (Steel K P. New interventions in hearing impairment [J]. BMJ, 2000, 320(4):622~625). La sordera puede tener muchas razones, siendo la principal el factor genético. La discapacidad auditiva que sucede en el momento de nacer o antes de los 3 años de edad se denomina hipoacusia prelingual, la mitad de los casos por lo menos se deben a una deficiencia genética. En un gran número de pacientes con pérdida auditiva tardía, muchos pacientes desarrollaron dicha enfermedad debido a su deficiencia genética o debido a una mayor susceptibilidad al ambiente causada por deficiencia genética y polimorfismo. Se estima que hay en total más de 100 genes de sordera genética no sindrómica globalmente. A la vista del progreso de investigación nacional, la mayoría de los loci de patogenicidad encontrados en China son en GJB2, GJB3, SLC26A4 y 12SrRNA de mitocondrias.

25 En el presente documento se proporcionan introducciones breves sobre GJB2, GJB3 y SLC26A4 para una mejor comprensión. Gen GJB2: este gen se localiza en la región autosómica 13q11-12 y la longitud total de ADN es 4804 pb, incluyendo 2 exones. La región codificante es de 678 pb y codifica una conexión Connexin26 que consiste en 266 restos de aminoácidos, que pertenece a la proteína beta-2 que es parte de la ruta de circulación del potasio. La mutación del gen GJB2 es la causa más común de la sordera genética y la sordera que resulta de la mutación del gen GJB2 es prelingual, bilateral y de sordera simétrica, la cual varía mucho en términos del grado de pérdida auditiva. Puede variar desde leve a extremamente severa, si bien la mayoría es una sordera severa o extremamente severa. En la población china, los principales tipos de mutación del gen GJB2 son 235delC, 299-300delAT, 176-191de116 y similares, que representan sobre el 80 % de las poblaciones con la mutación del gen GJB2. Gen GJB3: este gen se localiza en la región autosómica 1q33-35, tiene 2 exones y codifica una conexión Connexin 31 que 35 comprende 270 aminoácidos. La mutación del gen GJB3 puede conducir a una sordera no sindrómica genética autosómica, dominante o recesiva y se considera que se asocia con pérdida auditiva de alta frecuencia. El gen SLC26A1 se localiza en la región autosómica 7g31, tiene 21 exones y codifica una proteína transmembrana de varias pasadas Pendrina que consiste en 780 restos de aminoácidos, que pertenece a la familia transportadora relacionada principalmente con el transporte iónico yodo/cloruro y juega un papel importante en el manteniendo del 40 equilibrio de las composiciones de iones del cuerpo. Recientemente, muchos estudios fuera del país demuestran que SLC26A4 está relacionado estrechamente con el síndrome de Pendred (acueducto vestibular dilatado o acompañado con sordera nerviosa o malformación del oído interno y bocio) y con el síndrome de acueducto vestibular dilatado (LVAS, del inglés, Large Vestibular Aqueduct Syndrome). Entre las numerosas mutaciones, muchas están presentes tanto en el síndrome de Pendred como en el LVAS. Por tanto, las mutaciones en los mismos loci pueden dar como resultado distintas interpretaciones clínicas. Existen muchos tipos de mutaciones del 45 gen SLC26A4, mientras que las frecuencias de mutación de 281 C>T, 589G>A, IVS7-2A>G, 1174A>T(N392Y), 1226G>A, 1229C>T(T410M), 1975G>C, 2027T>A(L676Q), 2168A>G(HIS723ARG) y IVS15+5G>A son hasta del 82.51 %.

Con el desarrollo de la ciencia y la tecnología, muchos pacientes con sordera recién nacidos se diagnostican utilizando métodos de secuenciación Sanger, chip de genes y detección de proteínas. Existe también la detección prenatal basada en diagnóstico invasivo de genes patógenos de sordera fetal. Sin embargo, la detección no invasiva de genes patógenos de sordera fetal no se ha conseguido todavía.

55 Objeto de la invención

60

Los presentes inventores exploran un método para la detección de mutaciones de genes patógenos de sordera fetal (genotipo) que utiliza ADN de fragmento de sangre venosa de una mujer embarazada basado en tecnología de secuenciación de alto rendimiento de segunda generación. Tras el descubrimiento de ADN embrionario en sangre materna, es posible el diagnóstico no invasivo y la detección de anomalías cromosómicas fetales y mutaciones de genes de forma directa (Lo YM et al., (1997) Presence of fetal DNA in maternal plasma and serum. Lancet, 350:485-487). Los productos de Illumina son los mejores entre las tecnologías de secuenciación de alto rendimiento de segunda generación, entre los cuales Miseq y Hiseq son dos productos representativos, uno conocido por la longitud de secuenciación y el otro conocido por el rendimiento de secuenciación. En la presente invención se utiliza el secuenciador Miseq. Sin embargo, la cantidad de ADN embrionario en sangre es baja y todavía es un problema técnico a resolver cómo determinar rápidamente y con precisión los genotipos fetales relacionados.

El problema técnico a resolver en la presente invención es cómo detectar de forma no invasiva los genotipos de genes patógenos de sordera fetal utilizando la sangre venosa de una mujer embarazada. Por consiguiente, el primer objetivo de la presente invención, como se define mediante las reivindicaciones adjuntas, es proporcionar un método que es capaz de detectar eficazmente mutaciones génicas en loci de mutación predeterminados de genes patógenos de sordera en un feto a través del uso de muestras de ADN de plasma, que comprende las siguientes etapas:

- a) diseñar cebadores según una pluralidad de loci de mutación predeterminados de genes patógenos de sordera que comprenden 22 loci del gen GJB2, gen GJB3 y gen SLC26A4;
- b) probar simultáneamente la pluralidad de loci de mutación predeterminados de genes patógenos de sordera mediante:
- i) conectar los ADN de plasma contenidos en una muestra de ADN de plasma obtenida de una mujer embarazada con enlazadores de códigos de barras de preamplificación para obtener productos conectados marcando las posiciones iniciales y finales de los ADN de plasma y 6 bases diferentes en el extremo 3' del enlazador de preamplificación;
 - ii) preamplificar por PCR el producto conectado para obtener productos preamplificados;
 - iii) ciclar el producto preamplificado para obtener ADN ciclados;
- 20 iv) amplificar por PCR los ADN ciclados utilizando los cebadores diseñados para obtener productos amplificados; y
 - v) secuenciar con alto rendimiento los productos amplificados y detectar mutaciones de los genes patógenos de sordera fetal, en los que los cebadores son al menos un par de cebadores que están elongados hacia atrás y son:

25 GJB2-F1 (SEQ ID NO: 2): CACGCTGCAGACGATCC GJB2-R1 (SEQ ID NO: 3): CCCCAATCCATCTTCTACTCT GJB2-F2 (SEQ ID NO: 4): TCCCACATCCGGCTATG GJB2-R2 (SEQ ID NO: 5): GATGGGGAAGTAGTGATCGTAG 30 GJB3-F (SEQ ID NO: 7): CGTGGACTGCTACATTGCC GJB3-R (SEQ ID NO: 8): ATGTTGGGGCAGGGG PDS3-F (SEQ ID NO: 10): CGTCATTTCGGGAGT PDS3-R (SEQ ID NO: 11): CTAAGCAGCCATTCC PDS5-F (SEQ ID NO: 13): CCCTGACTCTGCTGG PDS5-R (SEQ ID NO: 14): CACTGGCAATCAGGA 35 PDS7-F2 (SEQ ID NO: 16): TGGCAGTAGCAATTATCGTC PDS7-R2 (SEQ ID NO: 17): TTTCATATGGAGCCAACCTG PDS10-F (SEQ ID NO: 19): CCACTGCTCTTTCCCGC PDS10-R (SEQ ID NO: 20): CAAGAGAAGAATCCTGAGAAGATG 40 PDS17-F (SEQ ID NO: 22): TTCCTGGACGTTGTTGGAG PDS17-R (SEQ ID NO: 23): GATATAGCTCCACAGTCAAGCAC

PDS19-F (SEQ ID NO: 25): TCTTGAGATTTCACTTGGTT PDS19-R (SEQ ID NO: 26): GTTCCATTTTAGAAACGGTA.

45 Según una realización preferida de la invención, la detección de los 22 loci del gen GJB2, gJB3 y gen SLC26A4 se consigue en una PCR utilizando 9 pares de cebadores.

Según una realización preferida de la invención, hay al menos diferencias de dos bases entre los enlazadores.

50 Según una realización preferida de la invención, los enlazadores son enlazadores de tipo Y emparejados parcialmente.

Según una realización preferida de la invención, el método utilizado en la ciclación de la etapa c) es una ciclación de tablilla, en el que se utilizan como tablillas los ADN de cadena única complementarios de ambos extremos del ADN preamplificado; y el cierre del anillo se completa mediante una Taq ligasa resistente al calor.

Según una realización preferida de la invención, la ciclación de la etapa c) consiste en reacciones múltiples de una circulación de sistema único que consta de desnaturalización de ADN, alineamiento de ADN de tablilla y conexión.

60 Según una realización preferida de la invención, el método de la invención adicionalmente comprende la digestión del ADN lineal sin ciclar.

Según una realización preferida de la invención, el método de la invención detecta el genotipo de genes patógenos de sordera fetal utilizando ADN de fragmento de sangre venosa de una mujer embarazada.

Según una realización preferida de la invención, los genes patógenos de sordera tienen mutaciones de inserción,

3

65

55

deleción, sustitución o de fusión de genes.

El segundo objetivo de la presente invención, tal como se define por las reivindicaciones adjuntas, es proporcionar un kit para detectar mutaciones de genes patógenos de sordera fetal de forma no invasiva, que comprende: reactivos para extraer los ADN de plasma, un enlazador de código de barras para marcar los ADN de plasma extraídos a través de las posiciones iniciales y finales de los ADN de plasma extraídos y 6 bases diferentes en el extremo 3' del enlazador, una ADN ciclasa, cebadores y reactivos para amplificar los ADN diana y cebadores y reactivos para preamplificar los loci predeterminados de genes patógenos de sordera, en los que los cebadores para preamplificar los loci predeterminados de genes patógenos de sordera son un par de cebadores que están elongados hacia atrás y diseñados para probar simultáneamente una pluralidad de loci de mutación que comprenden 22 loci del gen GJB2, gen GJB3 y gen SLC26A4, siendo el par de cebadores:

```
GJB2-F1 (SEQ ID NO: 2): CACGCTGCAGACGATCC
       GJB2-R1 (SEQ ID NO: 3): CCCCAATCCATCTTCTACTCT
       GJB2-F2 (SEQ ID NO: 4): TCCCACATCCGGCTATG
15
       GJB2-R2 (SEQ ID NO: 5): GATGGGGAAGTAGTGATCGTAG
       GJB3-F (SEQ ID NO: 7): CGTGGACTGCTACATTGCC
       GJB3-R (SEQ ID NO: 8): ATGTTGGGGCAGGGG
       PDS3-F (SEQ ID NO: 10): CGTCATTTCGGGAGT
20
       PDS3-R (SEQ ID NO: 11): CTAAGCAGCCATTCC
       PDS5-F (SEQ ID NO: 13): CCCTGACTCTGCTGG
       PDS5-R (SEQ ID NO: 14): CACTGGCAATCAGGA
       PDS7-F2 (SEQ ID NO: 16): TGGCAGTAGCAATTATCGTC
       PDS7-R2 (SEQ ID NO: 17): TTTCATATGGAGCCAACCTG
       PDS10-F (SEQ ID NO: 19): CCACTGCTCTTTCCCGC
25
       PDS10-R (SEQ ID NO: 20): CAAGAGAAGAATCCTGAGAAGATG
       PDS17-F (SEQ ID NO: 22): TTCCTGGACGTTGTTGGAG
       PDS17-R (SEQ ID NO: 23): GATATAGCTCCACAGTCAAGCAC
       PDS19-F (SEQ ID NO: 25): TCTTGAGATTTCACTTGGTT
30
       PDS19-R (SEQ ID NO: 26): GTTCCATTTTAGAAACGGTA.
```

Descripción de las figuras

10

35

40

45

La Fig. 1 muestra el diseño de cebadores utilizados en la presente invención.

La Fig. 2 muestra la estructura de productos conectados de la presente invención.

La Fig. 3 muestra la secuencia auxiliar y la secuencia enlazadora de la presente invención, en la que la flecha apunta hacia la posición necesaria para que sea unida por la Taq ADN ligasa.

La Fig. 4 muestra una realización del método de la invención, que ilustra el esquema de construcción de una librería.

Descripción detallada de la invención

El primer objetivo de la presente invención es proporcionar un método para detectar mutaciones génicas de loci de mutación predeterminados de genes patógenos de sordera en un feto a través del uso de muestras de ADN de plasma, que comprende las etapas como se definieron anteriormente en el presente documento.

50 Los métodos tradicionales para detectar ADN de fragmento se realizan principalmente mediante PCR, que amplifica las regiones a prueba antes de la detección. Como los cebadores de PCR están en ambos extremos de las regiones a prueba, se necesita que las regiones a prueba estén completas. Sin embargo, las regiones a prueba en la mayoría de los ADN de fragmento son incompletas, dado que los ADN de fragmento se producen por escisión aleatoria. Por consiguiente, el número de los ADN de fragmento que puede utilizarse como moldes de amplificación es escaso y 55 difícil de detectar. En la invención, el intervalo de adecuación de la amplificación de cebador y la cantidad eficaz de moldes se incrementa grandemente mediante la ciclación de los ADN de fragmento, mejorando así la sensibilidad de la detección del ADN de fragmento considerablemente. Un aspecto más importante de la invención es marcar el molde inicial utilizando las posiciones inicial y terminal del ADN de fragmento, así como 6 bases diferentes en el extremo 3' del enlazador, mejorando al mismo tiempo la utilidad del molde. Por tanto, se puede determinar eficazmente si los loci predeterminados en madre y feto han mutado, así como el tipo de mutación. Otro aspecto 60 importante de la invención es detectar loci múltiples para que sean probados simultáneamente, por ejemplo, para detectar los 22 loci patógenos de alta frecuencia al mismo tiempo en una muestra a prueba utilizando la tecnología Multi-PCR.

El método de detección de la invención se puede usar para detectar ADN de fragmento que comprende mutaciones, tales como mutación homocigótica y mutación heterocigótica; o deleción de bases, inserción o sustitución. "ADN de

fragmento" de la invención se refiere a un fragmento corto de ADN con la longitud de aproximadamente 166 pb que se forma por escisión aleatoria del ADN genómico de un organismo.

En resumen, la ciclación de molde de la invención hace a los moldes de ADN más disponibles que la PCR convencional, mejorando así la sensibilidad de detección. Marcando los moldes iniciales, utilizando las posiciones inicial y terminal del ADN de fragmento, así como las 6 bases diferentes de Código de barras en el extremo 3' del enlazador, es posible reducir eficazmente la secuencia a una secuencia molde a través de secuenciación antes de la amplificación por PCR, disminuyendo por tanto la desviación de secuencia resultado de la amplificación por PCR y determinando si los loci predeterminados en madre y feto han mutado, así como el tipo de mutaciones más exactamente. Por otra parte, se diseñan y optimizan 9 pares de cebadores elongados hacia atrás contra loci de mutación de alta frecuencia de los genes patógenos de sordera GJB2, GJB3 y SLC26A4 y se detectan los 22 loci patógenos de alta frecuencia en una muestra a prueba al mismo tiempo utilizando la tecnología Multi-PCR.

Diseño experimental de un ejemplo de sordera

1. Diseño de cebador de los loci de mutación predeterminados de genes patógenos de sordera.

Para conseguir la detección de genotipos de mutación de los loci predeterminados de genes patógenos de sordera fetal en sangre venosa materna, la mutación de los loci predeterminados de la invención es al menos una mutación de un gen seleccionado de los 22 loci del gen GJB2, gen GJB3 y gen SLC26A4, preferentemente, la mutación del gen GJB2 es al menos una mutación seleccionada de 35delG, 109G>A(VAL37ILE)167delT, 176-191dell6, 235delC y 299_300delAT; la mutación del gen GJB3 es al menos una mutación seleccionada de 421A>G(ILE141VAL), 421-423delATT, 497A-G(ASN166SER), 538C>T(ARG180TER), 547G>A(GLU183LYS) y 580G>A(ALA194THR); y la mutación del gen SCL26A4 es al menos una mutación seleccionada de 281C>T, 589G>A, IVS7-2A>G, 1229C>T(T410M), 2027T>A(L676Q), 1174A>T(N392Y), 1226G>A, 1975G>C, 2162C>T(T721M), 2168A>G(HIS723ARG) y IVS15+5G>A. Los loci probados no incluyen C1494T de mitocondrías y loci de mutación de A1555G, dado que la cantidad de ADN de mitocondria en plasma en muy escasa. Más preferentemente, los pares de cebadores están diseñados para elongar hacia atrás para detectar los loci de mutación predeterminados y el cebador de extremo anterior está más cerca de los loci probados, como se muestra en la Fig. 1. Más preferentemente, los 22 loci de los genes GJB2, GJB3 y SLC26A4 se detectan en una PCR utilizando 9 pares de cebadores mediante Multi-PCR que resuelve la detección multipunto. Las secuencias específicas probadas en los genes GJB2, GJB3 y SLC26A4 y los cebadores son como sigue: Cebadores de amplificación elongados hacia atrás en la región diana destinados al exón 2 de GJB2.

La secuencia del exón 2 de GJB2 es como sigue (SEQ ID NO: 1):

CGTCTTTTCCAGAGCAAACCGCCCAGAGTAGAAGATGGATTGGGGCACGCTGCA
GACGATCCTGGGGGGGTGTGAACAAACACTCCACCAGCATTGGAAAGATCTGGCT
CACCGTCCTCTTCATTTTTCGCATTATGATCCTCGTTGTGGCTGCAAAGGAGGTG
TGGGGAGATGAGCAGGCCGACTTTGTCTGCAACACCCTGCAGCCAGGCTGCAA
GAACGTGTGCTACGATCACTACTTCCCCATCTCCCACATCCGGCTATGGGCCCTG
CAGCTGATCTTCGTGTCCACGCCAGCGCTCCTAGTGGCCATGCACGTGGCCTACC
GGAGACATGAGAAGAAGAGAGAAGTTCATCAAGGGGGAGATAAAAGAGTGAATTT
AAGGACATCGAGGAGATCAAAACCCAGAAGGTCCGCAT

GJB2-F1 (SEQ ID NO: 2): CACGCTGCAGACGATCC GJB2-R1 (SEQ ID NO: 3): CCCCAATCCATCTTCTACTCT GJB2-F2 (SEQ ID NO: 4): TCCCACATCCGGCTATG GJB2-R2 (SEQ ID NO: 5): GATGGGGAAGTAGTGATCGTAG

Cebadores de amplificación elongados hacia atrás en la región diana destinados al exón 2 de GJB3.

La secuencia del exón 2 de GJB3 es como sigue (SEQ ID NO: 6):

45

40

10

15

20

25

AGGCAAGAAGCACGGAGGCCTGTGGTGGACCTACCTGTTCAGCCTCATCTTCAA
GCTCATCATTGAGTTCCTCTTCCTCTACCTGCTGCACACTCTCTGGCATGGCTTCA
ATATGCCGCGCCTGGTGCAGTGTGCCAACGTGGCCCCCTGCCCCAACATCGTGG
ACTGCTACATTGCCCGACCTACCGAGAAGAAAATCTTCACCTACTTCATGGTGGG
CGCCTCCGCCGTCTGCATCGTACTCACCATCTGTGAGCTCTGCTACCTCATCTGC

CACAGGGTCCTGCGAGGCCTGCACAAGGACAAGCCTCGA

GJB3-F (SEQ ID NO: 7): CGTGGACTGCTACATTGCC GJB3-R (SEQ ID NO: 8): ATGTTGGGGCAGGGG

Cebadores de amplificación elongados hacia atrás en la región diana destinados al exón 3 de SLC26A4.

La secuencia del exón 3 de SLC26A4 es como sigue (SEQ ID NO: 9):

PDS3-F (SEQ ID NO: 10): CGTCATTTCGGGAGT PDS3-R (SEQ ID NO: 11): CTAAGCAGCCATTCC Cebadores de amplificación elongados hacia atrás en la región diana destinados al exón 5 de SLC26A4.

La secuencia del exón 5 de SLC26A4 es como sigue (SEQ ID NO: 12):

AATGTATAATTCAGAAAACCAGAACCTTACCACCCGCAGTGATCTCACTCCAACA
ACGTCCAGGAAAGATATAGCTCCACAGTCAAGCACAAGGCTATGGATTGGCACT
TTGGGAACGTTCACTTTGACTGGAAGCTCAGAGTTCCAATCCACTTGAATCTCTA
TTTCCTTGGTTGGGATATCAAGTTCCTCCAGATCTTCAATATCCTCATCAGGCTCA
AAAGCATTATTTGTTGAAACAGCATCACTTATGATGCCATTCTAAACGAAGAAAA
CACTGTCAACTTAATTGTCAAAGAT

20 PDS5-F (SEQ ID NO: 13): CCCTGACTCTGCTGG PDS5-R (SEQ ID NO: 14): CACTGGCAATCAGGA

Cebadores de amplificación elongados hacia atrás en la región diana destinados al exón 7, intrón 7 y exón 8 de SLC26A4. La secuencia del exón 7 de SLC26A4, intrón 7 y exón 8 son como sigue (SEQ ID NO: 15):

25

5

10

PDS7-F2 (SEQ ID NO: 16): TGGCAGTAGCAATTATCGTC PDS7-R2 (SEQ ID NO: 17): TTTCATATGGAGCCAACCTG

PDS7-R2 (SEQ ID NO: 17): TTTCATATGGAGCCAA(

Cebadores de amplificación elongados hacia atrás en la región diana destinados al exón 10 de SLC26A4.

La secuencia del exón 10 de SLC26A4 es como sigue (SEQ ID NO: 18):

GAATTCATTGCCTTTGGGATCAGCAACATCTTCTCAGGATTCTTCTCTTGTTTTGT GGCCACCACTGCTCTTTCCCGCACGGCCGTCCAGGAGAGCACTGGAGGAAAGA CACAG

PDS10-F (SEQ ID NO: 19): CCACTGCTCTTTCCCGC PDS10-R (SEQ ID NO: 20): CAAGAGAAGAATCCTGAGAAGATG

15 Cebadores de amplificación elongados hacia atrás en la región diana destinados al exón 17 de SLC26A4.

La secuencia del exón 17 de SLC26A4 es como sigue (SEQ ID NO: 21):

AATGGCATCATAAGTGATGCTGTTTCAACAAATAATGCTTTTGAGCCTGATGAGG
ATATTGAAGATCTGGAGGAACTTGATATCCCAACCAAGGAAATAGAGATTCAAGT
GGATTGGAACTCTGAGCTTCCAGTCAAAGTGAACGTTCCCAAAGTGCCAATCCA
TAGCCTTGTGCTTGACTGTGGAGCTATATCTTTCCTGGACGTTGTTGGAGTGAGA
TCACTGCGGGTG

20

25

10

PDS17-F (SEQ ID NO: 22): TTCCTGGACGTTGTTGGAG PDS17-R (SEQ ID NO: 23): GATATAGCTCCACAGTCAAGCAC

Cebadores de amplificación elongados hacia atrás en la región diana destinados al exón 19 de SLC26A4.

La secuencia del exón 19 de SLC26A4 es como sigue (SEQ ID NO: 24):

AAAACATTGTGTCTTTCTTTTGAAGATTATGTGATAGAAAAGCTGGAGCAATGCG
GGTTCTTTGACGACAACATTAGAAAGGACACATTCTTTTTTGACGGTCCATGATGC
TATACTCTACCAGAACCAAGTGAAATCTCAAGAGGGTCAAGGTTCCATTTTA
GAAACGGTAAATATTCAACCTTTCTACAGATGTATCTTTTCTAAACTATCATG

30 PDS19-F (SEQ ID NO: 25): TCTTGAGATTTCACTTGGTT PDS19-R (SEQ ID NO: 26): GTTCCATTTTAGAAACGGTA

2. Diseño de enlazador del ADN de plasma

Para conseguir detección de molde cuantificada de los loci de genes patógenos de sordera, la invención empleó enlazadores de códigos de barras (secuencias múltiples marcadas) para marcar las secuencias de ADN de plasma. El marcado se obtiene utilizando las posiciones inicial y terminal del ADN de fragmento así como las 6 bases diferentes del extremo 3' del enlazador. La marcación anterior consigue dos objetivos: uno es marcar cuantitativamente los moldes iniciales de los loci probados; el otro es excluir la contaminación entre diferentes muestras en el mismo lote. Para conseguir el primer objetivo, el número de tipos de combinación de un grupo de enlazadores de códigos de barra tiene que ser mucho mayor que el número máximo de los moldes con las mismas posiciones de inicio y las mismas posiciones terminales. Por ejemplo, en 1 ml de plasma, el número máximo de moldes con las mismas posiciones de inicio y las mismas posiciones terminales es aproximadamente 10 y el número de tipos de combinaciones de cada grupo de enlazadores de código de barra de la invención es 10, por tanto, el número de combinaciones aleatorias de dirección 5' y dirección 3' de los enlazadores es 100. El número de combinaciones de 100 es mucho mayor que el número de moldes de 10, por tanto cada molde se asegura la unión a distinto tipo de enlazadores de código de barras. Para conseguir el segundo objetivo, se diseñaron en la invención diferentes combinaciones de enlazadores de código de barras. En total hay 16 grupos de enlazadores de código de barras sin repetición entre cada grupo de enlazadores, por tanto, se puede detectar un máximo de 16 muestras en un experimento. Más preferentemente, hay al menos diferencias de dos bases entre diferentes enlazadores de códigos de barras, para reducir por tanto la posibilidad de error. La función de corrección de los enlazadores de código de barras consigue la cuantificación y elimina la contaminación. Por tanto, se puede determinar eficazmente si los loci predeterminados en madre y feto han mutado, así como el tipo de mutación. El enlazador específico y las secuencias de cebador son como sigue:

Diseño de enlazador, necesidad de alinearse con una cadena doble:

ssCycAB-1 (SEQ ID NO: 27): GTCTCATCCCTGCGTG(NNNNNNT) ssCycAB-2 (SEQ ID NO: 28): p(NNNNNN)CACGCAGGGTACGTGT

30 en el que N puede ser cualquier aminoácido.

Cebadores de amplificación de prelibrería:

ssCycUniprimer-F(SEQ ID NO: 29): GTCTCATCCCTGCGTG ssCycUniprimer-R(SEQ ID NO: 30): ACACGTACCCTGCGTG

3. Ciclación de la prelibrería

Los métodos tradicionales para detectar ADN de fragmento se realizan principalmente mediante PCR, que amplifica las regiones a prueba antes de la detección. Como los cebadores de PCR están diseñados en ambos extremos de las regiones a prueba, se necesita que las regiones a prueba estén completas. Sin embargo, las regiones a prueba en la mayoría de los ADN de fragmento son incompletas, dado que los ADN de fragmento se producen por escisión aleatoria. Por consiguiente, el número de los ADN de fragmento que pueden utilizarse como moldes de amplificación es escaso y difícil de detectar mediante PCR. La invención utiliza un fragmento de ADN de plasma (aproximadamente 166 pb) para conseguir detección de molde cuantificada de los loci de los genes patógenos de sordera. Primero, el ADN de fragmento se cicla. Siempre que el punto de escisión no esté en el molde de los cebadores elongados hacia atrás, se puede llevar a cabo la amplificación. Por tanto, el intervalo de adaptación de la amplificación del cebador y la cantidad eficaz de moldes se incrementan y la sensibilidad de detección del fragmento de ADN también mejora considerablemente. Después de la conexión del ADN de plasma y los enlazadores, se amplifica la prelibrería y posteriormente se cicla. La ciclación de la prelibrería se puede ser de autoconexión en un anillo. La invención selecciona la ciclación de tablilla de cadena única con secuencias auxiliares específicas. Preferentemente, los enlazadores conectados a ADN de fragmento de plasma son enlazadores de tipo Y emparejados parcialmente, en los que la longitud de bases emparejadas siguiente al código de barras es 9 pb y la longitud de bases desemparejadas es 7 pb. Preferentemente, se utiliza un ADN de cadena única que es complementario de los enlazadores de tipo Y para ayudar a la ciclación. Los enlazadores y secuencias auxiliares son complementarios entre sí para formar cadenas dobles, en las que la longitud de la secuencia auxiliar es 32 pb. Preferentemente, los extremos entre las secuencias de enlazadores están conectados mediante la Taq ADN ligasa (M0208L) de NEB.

60 Secuencia auxiliar:

Puente (SEQ ID NO: 31): GTGCGTCCCTACTCTGTGCATGGGACGCAC

Realizaciones específicas

65

10

15

20

35

40

45

50

Protocolos experimentales:

1. Extracción de ADN de plasma

- El ADN de plasma se extrajo de 1-2 mil de plasma mediante el kit QlAamp Circulating Nucleic Acid (N.º de catálogo 55114). El ADN se eluyó en 45 μl de tampón de elución, en el que se utilizaron 2 μl para la detección de concentración mediante Qubit.
 - 2. Relleno final y adición de A en el ADN de plasma
- 10 La mezcla de reacción se preparó como se muestra en la Tabla 1.

Tabla 1

Tampón de ADN polimerasa de T4 (10 X)	5 µl
ADN de plasma	40,5 µl
Taq polimerasa	0,5 µl
ADN polimerasa de T4	2,0 µl
dNTP 10 mM	2,0 µl
Volumen total	50 µl

Reacción en una máquina de PCR:

15

37 °C: 20 min 72 °C: 20 min 4 °C: mantener

- 20 El producto con adición de A se purificó en una columna, se disolvió en 25 µl de tampón EB y se eluyó dos veces.
 - 3. Conexión con los enlazadores

La mezcla de reacción se preparó como se muestra en la Tabla 2.

25

Tabla 2		
ADN	22 µl	
Tampón de ligasa Quick 2X	25 µl	
Enlazador CycAB 7,5 µM	2 µl	
ADN ligasa de T4 (HC)	1 µl	
Volumen total	50 µl	

Reacción en una máquina de PCR:

30 20 °C: 15 min 65 °C: 10 min

4 °C: mantener

4. Construcción de prelibrería

35

4.1 PCR (sistema 100 μl), la mezcla de reacción se preparó como se muestra en la Tabla 3.

Tabla 3

Phusion PCR Master Mix (2X)	50 µl
CycUniprimer (F-10 μM, R-35 μM)	2 µl
Productos conectados con enlazadores	50 µl
Volumen total	100 µl

40 4.2 Los programas de PCR se muestran en la Tabla 4.

Tabla 4

I abia 4		
98 °C	30 s	1 ciclo
98 °C	10 s	
65 °C	30 s	14 ciclos
72 °C	30 s	
72 °C	5 min	1 ciclo
4 °C	mantener	

5. Fosforilación y ciclación

5.1 El sistema de fosforilación y ciclación se preparó como se muestra en la Tabla 5.

Tabla 5

ATP	0,4 µl
T4 PNK	0,5 µl
Tampón de Taq ligasa 10X	4 µl
Puente (10 µM)	4 µl
Productos prelibrería	12 µl
Taq Ligasa	2 µl
EB	17,1 µl
Volumen total	50 µl

5.2 Los programas de PCR se muestran en la Tabla 6.

10

5

Tabla 6		
37 °C	30 min	
95 °C	30 s	30 ciclos
50 °C	2 min	30 0005
4 °C	mantener	

6. Digestión de exonucleasa

6.1 Los componentes, como se muestran en la Tabla 7, se añadieron en el sistema de reacción de la etapa 5, en orden.

Tabla 7			
Exo I	1 µl		
Exo III	1 μΙ		
Reacción en una máquina de PCR a 37 °C durante 10 min			
PK (3 mg/ml)	1 μΙ		

6.2 Las condiciones de reacción son como se muestran en la Tabla 8.

20

Tabla 8		
50 °C	10 min	
99 °C	4 min	
4 °C	mantener	

- 7. Cribado de PCR de la región diana utilizando los cebadores elongados hacia atrás
- La detección de los 22 loci del gen GJB2, gen gJB3 y gen SLC26A4 se realizó en una PCR utilizando 9 pares de cebadores mediante Multi-PCR, que resuelve la detección multipunto.
 - 7.1 El sistema de reacción de PCR se preparó como se muestra en la Tabla 9

30

I abla 9	
Phusion PCR Master Mix (2x)	50 µl
Mezcla de cebadores (Primer Mix) (0.5-2 µM para cada uno)	4 µl
ADN ciclado	43 µl
EB	3 µl
Volumen total	50 µl

7.2 Las condiciones de reacción de PCR se muestran en la Tabla 10

Tabla 10		
98 °C	30 s	1 ciclo

(continuación)

98 °C	10 s	
60 °C	30 s	25 ciclos
72 °C	30 s	
72 °C	5 min	1 ciclo
4 °C	mantener	

Después de la reacción de PCR, el producto se purificó inmediatamente utilizando 90 µl de perlas XP Beads (0.9x) y se disolvió después en 26 µl de tampón EB.

- 5 8. Generación de la librería final
 - 8.1 El sistema de reacción de PCR se preparó como se muestra en la Tabla 11

Tabla 11

Phusion PCR Master Mix (2x)	25 µl
Illumina-Nextera-F (25 μM)	0,5 µl
Cebador índice (Index Primer) (25 µM)	0,5 µl
Productos de PCR cribados	24 µl
Volumen total	50 µl

10

8.2 Las condiciones de reacción de PCR fueron como se muestran en la Tabla 12

Tabla 12

98 °C	30 s	1 ciclo
98 °C	10 s	
65 °C	30 s	25 ciclos
72 °C	30 s	
72 °C	5 min	1 ciclo
4 °C	mantener	

- Después de la reacción de PCR, se analizaron 10 µl de producto mediante electroforesis en gel de agarosa 2 %, mientras que otros productos se purificaron y reciclaron utilizando perlas XP Beads 0.8x y se disolvieron finalmente en 22 µl de tampón EB, los cuales se utilizaron en una Q-PCR (PCR cuantitativa) posterior como la librería final. El tamaño de la librería final es 320 pb (utilizado en calcular la concentración de Q-PCR) y se debe mezclar con el cebador de secuenciación Read1 de NEXTERA para la secuenciación. La secuenciación de extremo doble de 300 pb se realizó utilizando Miseg de Illumina.
- La muestra fue plasma de una mujer embarazada. Preferentemente, la mutación de los loci predeterminados es al menos una mutación de un gen seleccionado de los 22 loci del gen GJB2, gen GJB3 y gen SLC26A4. Más preferentemente, la mutación del gen GJB2 es al menos una mutación seleccionada de 35delG, 109G>A(VAL37ILE)167delT, 176-191 dell6, 235delC y 299_300delAT; la mutación del gen GJB3 es al menos una mutación seleccionada de 421A>G(ILE141VAL), 421-423delATT, 497A-G(ASN166SER), 538C>T(ARG180TER), 547G>A(GLU183LYS) y 580G>A(ALA194THR); y la mutación del gen SCL26A4 es al menos una mutación seleccionada de 281 C>T, 589G>A, IVS7-2A>G, 1174A>T(N392Y), 1226G>A, 1229C>T(T410M), 1975G>C, 2027T>A(L676Q), 2162C>T(T721 M), 2168A>G(HIS723ARG) y IVS15+5G>A. Para mayor comodidad de la descripción, los loci de mutación anteriores probados mediante combinaciones de cebadores se resumen como se muestra en la Tabla 13.

Tabla 13 Cebadores e información de los loci predeterminados a prueba

	Tabla 13 Cebadores e informaci	ón de los loci predete	
Gen	Cebadores correspondientes al locus probado	locus	Observación de la HGMD (Base de Datos de Mutaciones de Genes Humanos)
	GJB2-F1: CACGCTGCAGACGATCC GJB2-R1: CCCCAATCCATCTTCTACTCT	35delG	CD972240 sordera, herencia recesiva autosómica
	GJB2-F2:	109G>A (VAL37ILE)	CM000016 sordera, herencia recesiva autosómica
GJB2		167delT	CD972241 sordera, herencia recesiva autosómica
	TCCCACATCCGGCTATG GJB2-R:	176-191del16	CD000073 sordera, herencia recesiva autosómica
	GATGGGGAAGTAGTGATCGTA G	235delC	CD991730 sordera, herencia recesiva autosómica
		299-300delAT	CD000074 sordera, herencia recesiva autosómica
		421A>G (ILE141VAL)	CM000019 sordera, herencia recesiva autosómica
	GJB3-F:	421-423delATT 497A-G	CD000075 sordera, herencia recesiva autosómica CM090826 sordera, no sindrómica,
	CGTGGACTGCTACATTGCC GJB3-R:	(ASN166SER) 538C>T	herencia recesiva autosómica
GJB3	ATGTTGGGGCAGGGG	(ARG180TER) 547G>A	CM980934 sordera, no sindrómica, autosómica dominante CM980935 sordera, no sindrómica,
		(GLU183LYS)	autosómica dominante
		580G>A (ALA194THR)	CM090827 sordera, no sindrómica, herencia recesiva autosómica
	PDS2-F: CGTCATTTCGGGAGT PDS2-R: CTAAGCAGCCATTC	281C>T	CM074541 LVAS
	PDS5-F: CCCTGACTCTGCTGG PDS5-R: CACTGGCAATCAGGA	589G>A	CM074557 LVAS
SCL26A4	PDS7-F2: TGGCAGTAGCAATTATCGTC PDS7-R2: TTTCATATGGAGCCAACCTG	IVS7-2 A>G	CS991479 síndrome de sordera Síndrome de Pendred
	PDS10-F: CCACTGCTCTTTCCCGC	1174 A>T (N392Y)	CM030959 sordera, no sindrómica, herencia recesiva autosómica
	PDS10-R: CAAGAGAAGAATCCTGAGAAG	1226G>A 1229 C>T(T410M)	CM981503 síndrome de sordera CM981504 síndrome de sordera
	ATG PDS17-F:	, ,	CM073354 sordera, no sindrómica,
	TTCCTGGACGTTGTTGGAG PDS17-R:	1975G>C	herencia recesiva autosómica
	GATATAGCTCCACAGTCAAGCA C	2027 T>A (L676Q)	CM030963 sordera, no sindrómica, herencia recesiva autosómica
	PDS19-F: TCTTGAGATTTCACTTGGTT	2162C>T (T721M)	CM991031 sordera, no sindrómica, herencia recesiva autosómica
	PDS19-R:	2168A>G (HIS723ARG)	CM981513 síndrome de sordera
	GTTCCATTTTAGAAACGGTA	IVS15+5G> A	CS050413 LVAS

Resultados experimentales

	ón no invasiva	Genotipo fetal	GJB2 109G>A El feto	es heterólogo.			GJB2 109G>A El feto	es heterólogo.			GJB2109 G>A El feto	es heterólogo.			GJB2 109 G>A El feto	es homocigótico.			SLC26A4 IVS7-2A>G	El feto es heterólogo.			No se observó	mutación.		
	Conclusión de la detección no invasiva	Genotipo materno	No se observó	mutación.			GJB2 109 G>A La	madre es heteróloga.			GJB2 109 G>A La	madre es heteróloga.			GJB2 109 G>A La	madre es heteróloga.			SLC26A4 IVS7-2A>G	La madre es heteróloga.			GJB2 109 G>A La	madre es heteróloga.		
		%	4,83 %	% 00'0	% 00'0	% 00'0	49,06 %	% 00'0	% 00'0	% 00'0	51,60 %	% 00'0	% 00'0	% 00.0	55,91 %	% 00'0	% 00'0	1,03 %	% 00'0	51,75 %	% 00'0	% 00'0	45,76 %	% 00'0	% 00'0	% 00'0
	nvasiva	Moldes totales ²	331	376	162	262	159	198	72	162	343	425	132	362	93	137	41	26	29	114	28	71	837	826	381	702
Tabla 14	detección no i	moldes mutados¹	16	0	0	0	78	0	0	0	177	0	0	0	52	0	0	1	0	59	0	0	383	0	0	0
Tak	Resultados de la detección no invasiva	mutación	GJB2109 G>A	SLC26A4 IVS7- 2A> G	GJB2 299- 300deIAT	GJB3538C>T	GJB2109 G>A	SLC26A4 IVS7- 2A>G	GJB2 299- 300deIAT	GJB3538C>T	GJB2109 G>A	SLC26A4 IVS7- 2A>G	GJB2 299- 300delAT	GJB3538C>T	GJB2109 G>A	SLC26A4 IVS7- 2A>G	GJB2 299- 300del AT	GJB3538C>T	GJB2 109 G>A	SLC26A4 IVS7- 2A>G	GJB2 299- 300delAT	GJB3538C>T	GJB2 109 G>A	SLC26A4 IVS7- 2A>G	GJB2 299- 300delAT	GJB3538C>T
	ada por el hospital	Genotipo fetal	GJB2 109 G>A	mutación heteróloga			GJB2 109 G>A	mutación heteróloga			GJB2 109 G>A	mutación heteróloga			GJB2 109 G>A	mutación homocigótica			SLC26A4 IVS7-2	mutación heteróloga			No se observó	mutación.		
;	Información proporcionada por el	Genotipo materno	No se observó	mutación.			GJB2 109 G>A	mutación heteróloga			GJB2 109 G>A	mutación heteróloga			GJB2 109 G>A	mutación heteróloga			SLC26A4 IVS7-2I	mutación heteróloga			GJB2 109 G>A	mutación heteróloga		
	Muestra		Mujer	embarazada 1			Mujer	embarazada 2			Mujer	embarazada 3			Mujer	embarazada 4			Mujer	embarazada 5			Mujer	embarazada 6		

	ión no invasiva	Genotipo fetal	GJB2109 G>A El feto	es heterólogo.			GJB2 299-300deIAT EI	feto es heterólogo.			GJB2109 G>A El feto	es heterólogo.				No se observó	mutación.			GJB2109 G>A FI feto	es heterólogo.			No se observó	mutación.		
	Conclusión de la detección no invasiva	Genotipo materno	No se observó	mutación.			No se observó	mutación.			No se observó	mutación.				GJB2 109 G>A La	madre es heteróloga.			GJB2 109 G>A La	madre es heteróloga.			GJB3 538C>T La	madre es heteróloga.		
		%	8,20 %	% 00'0	% 00'0	0,93 %	% 00'0	% 00'0	9,40 %	% 00'0	5,42 %	% 00'0	% 00'0	ò	0,00	46,75 %	% 00'0	% 00'0	% 00 0	50.21%	% 00'0	% 00'0	% 00'0	% 00'0	% 00'0	% 00'0	42,47 %
	invasiva	Moldes totales ²	122	157	43	107	291	381	149	255	627	748	271	C	909	169	250	75	188	733	265	83	205	287	354	130	292
(continuación)	de la detección no invasiva	moldes mutados¹	10	0	0	_	0	0	14	0	34	0	0	c	0	79	0	0	c	117	0	0	0	0	0	0	124
(contir	Resultados de la c	mutación	GJB2 109 G>A	SLC26A4 IVS7- 2A>G	GJB2 299- 300delAT	GJB3538C>T	GJB2 109 G>A	SLC26A4 IVS7- 2A>G	GJB2 299- 300delAT	GJB3538C>T	GJB2 109 G>A	SLC26A4 IVS7- 2A>G	GJB2 299-	SuudelA I	GJB3538C>1	GJB2 109 G>A	SLC26A4 IVS7- 2A>G	GJB2 299-	SUUGEIA I	GJB2 109 G>A	SLC26A4 IVS7- 2A>G	GJB2 299-	GJB3538C>T	GJB2 109 G>A	SLC26A4 IVS7- 2A>G	GJB2 299- 300delAT	GJB3538C>T
	ada por el hospital	Genotipo fetal	GJB2 109 G>A	mutación heteróloga			GJB2 299-300deIAT	mutación heteróloga			GJB2 109 G>A	mutación heteróloga				No se observó	mutación.			GJB2 109 G>A	mutación heteróloga			No se observó	mutación.		
	Información proporcionada por el	Genotipo materno	No se observó	mutación.			No se observó	mutación.			No se observó	mutación.				GJB2 109 G>A	mutación heteróloga			GJB2 109 G>A	mutación heteróloga			GJB3538C>T	mutación heteróloga		
	Muestra		Mujer	embarazada 7			Mujer	embarazada 8				embarazada 9					embarazada 10			Muier	azada 11			Mujer	embarazada 12		

			(contir	(continuación)				
Muestra	Información proporcionada por	ada por el hospital	Resultados de la detección no invasiva	detección no i	nvasiva		Conclusión de la detección no invasiva	ón no invasiva
	Genotipo materno	Genotipo fetal	mutación	moldes	Moldes	%	Genotipo materno	Genotipo fetal
				mutados	totales-			
Mujer	No se observó	No se observó	GJB2 109 G>A	0	465	% 00'0	No se observó	No se observó
embarazada 13	mutación.	mutación.	SLC26A4 IVS7-	0	277	% 00'0	mutación.	mutación.
			G.IR2 299-	C	231	% 00 0		
			300delAT)	-	2, 2		
			GJB3538C>T	0	447	% 00'0		
Mujer	No se observó	No se observó	GJB2 109 G>A	0	388	% 00'0	No se observó	No se observó
embarazada 14	mutación.	mutación.	SLC26A4 IVS7-	0	470	% 00'0	mutación.	mutación.
			2A>G					
			GJB2 299- 300delAT	0	176	% 00'0		
			GJB3538C>T	2	313	0,64 %		
Mujer	No se observó	No se observó	GJB2 109 G>A	0	248	% 00'0	No se observó	No se observó
embarazada 15	mutación.	mutación.	SLC26A4 IVS7-	0	283	% 00'0	mutación.	mutación.
			2A> G					
			GJB2 299- 300delAT	0	82	% 00'0		
			GJB3538C>T	_	219	0,46 %		
Mujer		No se observó	GJB2 109 G>A	0	84	% 00'0	No se observó	No se observó
embarazada 16	mutación.	mutación.	SLC26A4 IVS7-	0	94	% 00'0	mutación.	mutación.
			G.IR2 299-	c	35	% 00 0		
			300delAT	o	3	2000		
			GJB3538C>T	0	64	% 00'0		
Mujer	No se observó	No se observó	GJB2109 G>A	0	275	% 00'0	No se observó	No se observó
embarazada 17	mutación.	mutación.	SLC26A4 IVS7-	0	380	% 00'0	mutación.	mutación.
			2A>G					
			GJB2 299- 300delAT	0	98	% 00'0		
			GJB3538C>T	0	304	% 00'0		

	ción no invasiva	Genotipo fetal	No se observó	mutación.		
	Conclusión de la detección no invasiva	Genotipo materno	0,00 % No se observó	0,00 % mutación.		
		%	% 00'0	% 00'0	% 00'0	% 00'0
	invasiva	Moldes totales ²	364	481	163	385
(continuación)	detección no i	moldes mutados ¹	0	0	0	0
(conti	Resultados de la detección no invasiva	mutación	GJB2109 G>A	SLC26A4 IVS7- 2A>G	GJB2 299- 300delAT	GJB3538C>T
	ada por el hospital	Genotipo fetal	No se observó	mutación.		
	Información proporcionada por el	Genotipo materno	No se observó	mutación.		
	Muestra		Mujer	embarazada 18 mutación.		

Notas: 1. Moldes mutados: el número de moldes de los correspondientes loci mutados en la detección prenatal no invasiva. 2. Moldes totales: el número total de moldes de los correspondientes loci en la detección prenatal no invasiva.

Entre los reactivos principales se incluyen: kit de ácido nucleico circulante QIAamp (QIAamp Circulating Nucleic Acid Kit), tampón de fosforilación de ADN de T4 (10x), mezcla de dNTP 10 μM, ADN polimerasa de T4, ADN fosforilasa de T4, solución dATP, tampón de ligadura rápida (Quick ligation buffer) (5x), enlazadores de cadena doble de ADN tipo Y, ADN ligasa de T4 (HC), ADN ligasa de T4 rápida (Quick T4 DNA ligase) (NEB), Phusion DNA polymerase (mezcla de ADN polimerasa Phusion), cebadores de preamplificación, agua ultrapura, tampón de Taq ligasa 10X, Taq Ligasa, NEBuffer 1 10x, Exo III.

El estándar de datos para la conclusión de los resultados experimentales:

Según unas estadísticas internas, la cantidad media de ADN de plasma fetal en una mujer embarazada en una edad gestacional de 12-26 semanas es aproximadamente de un 10 % basándose en la cantidad de ADN de plasma de la mujer embarazada. La alteración de genes de sordera se heredan autosómicamente y por tanto, el estándar de datos de varias combinaciones de genotipos patógenos maternos y fetales se puede obtener basándose en las leyes de la herencia. La conclusión experimental se deduce basándose en los datos de genotipo de los genotipos patógenos probados.

Geno	Genotipos					
Madre	Feto	madre	feto	total		
Mutación homocigótica	Mutación heterocigótica	90 %	10 %	100 %		
Mutación homocigótica	Mutación heterocigótica	90 %	5 %	95 %		
Mutación heterocigótica	Mutación homocigótica	45 %	10 %	55 %		
Mutación heterocigótica	Mutación heterocigótica	45 %	5 %	50 %		
Mutación heterocigótica	Tipo silvestre	45 %	0 %	45 %		
Tipo silvestre	Mutación heterocigótica	0 %	5 %	5 %		
Tipo silvestre	Tipo silvestre	0 %	0 %	0 %		

LISTADO DE SECUENCIAS

20 <110> Beijing BerryGenomics Co., Ltd.

<120> Un método y un kit para detectar de forma no invasiva mutaciones de genes patógenos de sordera fetal

<160> 31

25

<170> PatentIn versión 3.2

<210> 1

<211> 417

30 <212> ADN

<213> Homo sapiens

<400> 1

cgtcttttcc	agagcaaacc	gcccagagta	gaagatggat	tggggcacgc	tgcagacgat	60
cctggggggt	gtgaacaaac	actccaccag	cattggaaag	atctggctca	ccgtcctctt	120
catttttcgc	attatgatcc	tcgttgtggc	tgcaaaggag	gtgtggggag	atgagcaggc	180
cgactttgtc	tgcaacaccc	tgcagccagg	ctgcaagaac	gtgtgctacg	atcactactt	240
ccccatctcc	cacatccggc	tatgggccct	gcagctgatc	ttcgtgtcca	cgccagcgct	300
cctagtggcc	atgcacgtgg	cctaccggag	acatgagaag	aagaggaagt	tcatcaaggg	360
ggagataaag	agtgaattta	aggacatcga	ggagatcaaa	acccagaagg	tccgcat	417

35

<210> 2

<211> 17 <212> ADN

40 <213> Artificial

<400> 2

cacgctgcag acgatcc

5	<210> 3 <211> 21 <212> ADN <213> Artificial						
	<400> 3 ccccaatcca tcttctact	tc t			21		
10	<210> 4 <211> 17 <212> ADN <213> Artificial						
15	<400> 4 tcccacatcc ggctatg				17		
20	<210> 5 <211> 22 <212> ADN <213> Artificial						
25	<400> 5 gatggggaag tagtgat	cgt ag			22		
	<210> 6 <211> 313 <212> ADN <213> Homo sapiel	ns					
30	<400> 6						
	aggcaagaag	cacggaggcc	tgtggtggac	ctacctgttc	agcctcatct	tcaagctcat	60
	cattgagttc	ctcttcctct	acctgctgca	cactctctgg	catggcttca	atatgccgcg	120
	cctggtgcag	tgtgccaacg	tggccccctg	ccccaacatc	gtggactgct	acattgcccg	180
	acctaccgag	aagaaaatct	tcacctactt	catggtgggc	gcctccgccg	tctgcatcgt	240
	actcaccatc	tgtgagctct	gctacctcat	ctgccacagg	gtcctgcgag	gcctgcacaa	300
	ggacaagcct	cga					313
35	<210> 7 <211> 19 <212> ADN <213> Artificial						
40	<400> 7 cgtggactgc tacattgc	c			19		
45	<210> 8 <211> 15 <212> ADN <213> Artificial						
50	<400> 8 atgttggggc agggg				15		
55	<210> 9 <211> 240 <212> ADN <213> Homo sapier	ns					

	<400> 9						
	tcatgatagt	ttagaaaaga	tacatctgta	gaaaggttga	atatttaccg	tttctaaaat	60
	ggaaccttga	ccctcttgag	atttcacttg	gttctgtaga	tagagtatag	catcatggac	120
	cgtcaaaaag	aatgtgtcct	ttctaatgtt	gtcgtcaaag	aacccgcatt	gctccagctt	180
	ttctatcaca	taatcttcaa	aagaaagaca	caatgttttg	ttagttccta	ggaaaagaaa	240
5	<210> 10 <211> 15 <212> ADN <213> Artificial						
10	<400> 10 cgtcatttcg ggagt				15		
15	<210> 11 <211> 15 <212> ADN <213> Artificial						
20	<400> 11 ctaagcagcc attcc				15		
	<210> 12 <211> 300 <212> ADN <213> Homo sapid	ens					
25	<400> 12	0/10					
	aatgtataat	tcagaaaacc	agaaccttac	cacccgcagt	gatctcactc	caacaacgtc	60
	caggaaagat	atagetecae	agtcaagcac	aaggctatgg	attggcactt	tgggaacgtt	120
	cactttgact	ggaagctcag	agttccaatc	cacttgaatc	tctatttcct	tggttgggat	180
	atcaagttco	c tccagatctt	caatatcctc	atcaggctca	aaagcattat	ttgttgaaac	240
	agcatcactt	atgatgccat	tctaaacgaa	gaaaacactg	tcaacttaat	tgtcaaagat	300
30	<210> 13 <211> 15 <212> ADN <213> Artificial						
35	<400> 13 ccctgactct gctgg				15		
40	<210> 14 <211> 15 <212> ADN						
	<213> Artificial <400> 14						
45	cactggcaat cagga <210> 15 <211> 336 <212> ADN <213> Homo sapid	ens			15		

	<400> 15						
	acgctggttg	agatttttca	aaatattggt	gataccaatc	ttgctgattt	cactgctgga	60
	ttgctcacca	ttgtcgtctg	tatggcagtt	aaggaattaa	atgatcggtt	tagacacaaa	120
	atcccagtcc	ctattcctat	agaagtaatt	gtggtaagta	gaatatgtag	ttagaaagtt	180
	cagcattatt	tggttgacaa	acaaggaatt	attaaaacca	atggagtttt	taacatcttt	240
	tgttttattt	cagacgataa	ttgctactgc	catttcatat	ggagccaacc	tggaaaaaaa	300
	ttacaatgct	ggcattgtta	aatccatccc	aagggg			336
5	<210> 16 <211> 20 <212> ADN <213> Artificial						
10	<400> 16 tggcagtagc aattate	cgtc			20		
15	<210> 17 <211> 20 <212> ADN <213> Artificial						
20	<400> 17 tttcatatgg agccaad <210> 18	cctg			20		
25	<211> 114 <212> ADN <213> Homo sapi	iens					
	<400> 18						
			cagcaacatc				
	accactgctc	tttcccgcac	ggccgtccag	gagagcactg	gaggaaagac	acag	114
30	<210> 19 <211> 17 <212> ADN <213> Artificial						
35	<400> 19 ccactgctct ttcccgc	:			17		
40	<210> 20 <211> 24 <212> ADN <213> Artificial						
1 5	<400> 20 caagagaaga atcct	tgagaa gatg			24		
50	<210> 21 <211> 231 <212> ADN <213> Homo sapi	iens					
<i>.</i>	<400> 21						

	aatggcatca taagtgatgc tgtttcaaca aataatgctt ttgagcctga tgaggatatt	60
	gaagatetgg aggaaettga tateecaace aaggaaatag agatteaagt ggattggaae	120
	tctgagcttc cagtcaaagt gaacgttccc aaagtgccaa tccatagcct tgtgcttgac	180
	tgtggagcta tatctttcct ggacgttgtt ggagtgagat cactgcgggt g	231
5	<210> 22 <211> 19 <212> ADN <213> Artificial	
10	<400> 22 ttcctggacg ttgttggag 19	
10	<210> 23 <211> 23 <212> ADN <213> Artificial	
15	<400> 23 gatatagete cacagteaag cac 23	
20	<210> 24 <211> 218 <212> ADN <213> Homo sapiens	
25	<400> 24	
	aaaacattgt gtctttcttt tgaagattat gtgatagaaa agctggagca atgcgggttc	60
	tttgacgaca acattagaaa ggacacattc tttttgacgg tccatgatgc tatactctat	120
	ctacagaacc aagtgaaatc tcaagagggt caaggttcca ttttagaaac ggtaaatatt	180
	caacctttct acagatgtat cttttctaaa ctatcatg	218
30	<210> 25 <211> 20 <212> ADN <213> Artificial	
35	<400> 25 tcttgagatt tcacttggtt 20	
40	<210> 26 <211> 20 <212> ADN <213> Artificial	
40	<400> 26 gttccatttt agaaacggta 20	
45	<210> 27 <211> 16 <212> ADN <213> Artificial	
50	<400> 27 gtctcatccc tgcgtg 16	
	<210> 28	

	<211> 16 <212> ADN <213> Artificial	
5	<400> 28 cacgcagggt acgtgt	16
10	<210> 29 <211> 16 <212> ADN <213> Artificial	
15	<400> 29 gtctcatccc tgcgtg	16
	<210> 30 <211> 16 <212> ADN <213> Artificial	
20	<400> 30 acacgtaccc tgcgtg	16
25	<210> 31 <211> 32 <212> ADN <213> Artificial	
30	<400> 31 gtgcgtccct actctgtgtg catgggacgc ac	32

REIVINDICACIONES

1. Un kit para detectar de forma no invasiva mutaciones de genes patógenos de sordera fetal, que comprende: reactivos para extraer los ADN de plasma, un enlazador de código de barras para marcar los ADN de plasma extraídos a través de las posiciones iniciales y finales de los ADN de plasma extraídos y 6 bases diferentes en el extremo 3' del enlazador de código de barras, una ADN ciclasa, cebadores y reactivos para amplificar los ADN diana y cebadores y reactivos para preamplificar los loci predeterminados de genes patógenos de sordera, en los que los cebadores para preamplificar los loci predeterminados de genes patógenos de sordera son pares de cebadores que están elongados hacia atrás y diseñados para probar simultáneamente una pluralidad de loci de mutación que comprenden 22 loci del gen GJB2, gen GJB3 y gen SLC26A4; siendo los pares de cebadores:

```
GJB2-F1 (SEQ ID NO: 2): CACGCTGCAGACGATCC,
       GJB2-R1 (SEQ ID NO: 3): CCCCAATCCATCTTCTACTCT;
       GJB2-F2 (SEQ ID NO: 4): TCCCACATCCGGCTATG.
15
       GJB2-R2 (SEQ ID NO: 5): GATGGGGAAGTAGTGATCGTAG;
       GJB3-F (SEQ ID NO: 7): CGTGGACTGCTACATTGCC,
       GJB3-R (SEQ ID NO: 8): ATGTTGGGGCAGGGG;
       PDS3-F (SEQ ID NO: 10): CGTCATTTCGGGAGT,
       PDS3-R (SEQ ID NO: 11): CTAAGCAGCCATTCC;
20
       PDS5-F (SEQ ID NO: 13): CCCTGACTCTGCTGG,
       PDS5-R (SEQ ID NO: 14): CACTGGCAATCAGGA;
       PDS7-F2 (SEQ ID NO: 16): TGGCAGTAGCAATTATCGTC,
       PDS7-R2 (SEQ ID NO: 17): TTTCATATGGAGCCAACCTG;
       PDS10-F (SEQ ID NO: 19): CCACTGCTCTTTCCCGC,
       PDS10-R (SEQ ID NO: 20): CAAGAGAAGAATCCTGAGAAGATG;
25
       PDS17-F (SEQ ID NO: 22): TTCCTGGACGTTGTTGGAG,
       PDS17-R (SEQ ID NO: 23): GATATAGCTCCACAGTCAAGCAC; v
       PDS19-F (SEQ ID NO: 25): TCTTGAGATTTCACTTGGTT,
       PDS19-R (SEQ ID NO: 26): GTTCCATTTTAGAAACGGTA.
30
```

10

45

50

55

2. El kit según la reivindicación 1, **caracterizado por que** el kit comprende adicionalmente reactivos para la secuenciación de alto rendimiento.

- 3. El kit según la reivindicación 1, **caracterizado por que** el par de cebadores elongados hacia atrás contienen una región de cebador universal adecuada para diferentes plataformas de secuenciación de alto rendimiento.
 - 4. El kit según la reivindicación 1, caracterizado por que hay al menos diferencias de dos bases entre los enlazadores.
- 40 5. El kit según la reivindicación 1, **caracterizado por que** los enlazadores son enlazadores de tipo Y emparejados parcialmente.
 - 6. El kit según la reivindicación 1, caracterizado por que los genes patógenos de sordera tienen mutaciones de inserción, deleción, sustitución o de fusión de genes.
 - 7. Un conjunto de pares de cebadores como se define en la reivindicación 1 para el uso de detección no invasiva de mutaciones de genes patógenos de sordera en un feto.
 - 8. Un método para la detección no invasiva de mutaciones de genes patógenos de sordera fetal, que comprende:
 - --diseñar cebadores según una pluralidad de loci de mutación predeterminados de genes patógenos de sordera que comprenden 22 loci del gen GJB2, gen GJB3 y gen SLC26A4;
 - --probar simultáneamente la pluralidad de loci de mutación predeterminados de genes patógenos de sordera mediante:
 - ----conectar los ADN de plasma contenidos en una muestra de ADN de plasma obtenida de una mujer embarazada con enlazadores de códigos de barras de preamplificación para obtener productos conectados marcando las posiciones iniciales y finales de los ADN de plasma y 6 bases diferentes en el extremo 3' del enlazador de preamplificación;
- 60 ----preamplificar por PCR el producto conectado para obtener productos preamplificados;
 - ----ciclar el producto preamplificado para obtener ADN ciclados;
 - ----amplificar por PCR los ADN ciclados utilizando los cebadores diseñados para obtener productos amplificados; y
- ----secuenciar con alto rendimiento los productos amplificados y detectar mutaciones de genes patógenos de sordera fetal en los que los cebadores son un conjunto de pares de cebadores que están elongados hacia atrás y son:

```
GJB2-F1 (SEQ ID NO: 2): CACGCTGCAGACGATCC,
             GJB2-R1 (SEQ ID NO: 3): CCCCAATCCATCTTCTACTCT;
             GJB2-F2 (SEQ ID NO: 4): TCCCACATCCGGCTATG,
5
             GJB2-R2 (SEQ ID NO: 5): GATGGGGAAGTAGTGATCGTAG;
             GJB3-F (SEQ ID NO: 7): CGTGGACTGCTACATTGCC,
             GJB3-R (SEQ ID NO: 8): ATGTTGGGGCAGGGG;
             PDS3-F (SEQ ID NO: 10): CGTCATTTCGGGAGT,
             PDS3-R (SEQ ID NO: 11): CTAAGCAGCCATTCC;
10
             PDS5-F (SEQ ID NO: 13): CCCTGACTCTGCTGG,
             PDS5-R (SEQ ID NO: 14): CACTGGCAATCAGGA;
             PDS7-F2 (SEQ ID NO: 16): TGGCAGTAGCAATTATCGTC,
             PDS7-R2 (SEQ ID NO: 17): TTTCATATGGAGCCAACCTG;
             PDS10-F (SEQ ID NO: 19): CCACTGCTCTTTCCCGC,
             PDS10-R (SEQ ID NO: 20): CAAGAGAAGAATCCTGAGAAGATG;
15
             PDS17-F (SEQ ID NO: 22): TTCCTGGACGTTGTTGGAG,
             PDS17-R (SEQ ID NO: 23): GATATAGCTCCACAGTCAAGCAC; y PDS19-F (SEQ ID NO: 25): TCTTGAGATTTCACTTGGTT,
             PDS19-R (SEQ ID NO: 26): GTTCCATTTTAGAAACGGTA.
```

20

- 9. El método de la reivindicación 8, en el que al menos un par de cebadores elongados hacia atrás contiene una región de cebador universal adecuada para diferentes plataformas de secuenciación de alto rendimiento.
- 10. El método de la reivindicación 8, en el que hay al menos diferencias de dos bases entre los enlazadores.

25

- 11. El método de una cualquiera de las reivindicaciones 8 y 9, en el que los enlazadores son enlazadores de tipo Y emparejados parcialmente.
- 12. El método de una cualquiera de las reivindicaciones 8 a 11, en el que la ciclación de los productos preamplificados comprende una ciclación en tablilla, en el que se utilizan como tablillas los ADN de cadena única complementarios de ambos extremos del ADN preamplificado; y el cierre del anillo se completa mediante una Taq ligasa resistente al calor.
- 13. El método de una cualquiera de las reivindicaciones 8 a 12, en el que la ciclación de los productos preamplificados comprende múltiples reacciones de una circulación de sistema único que consiste en desnaturalización de ADN, alineamiento de ADN de tablilla y conexión.
 - 14. El método de una cualquiera de las reivindicaciones 8 a 13, que comprende adicionalmente la digestión del ADN lineal no ciclado.

40

15. El método de una cualquiera de las reivindicaciones 8 a 14, en el que los genes patógenos de sordera comprenden al menos una mutación de inserción, deleción, sustitución o de fusión de genes.

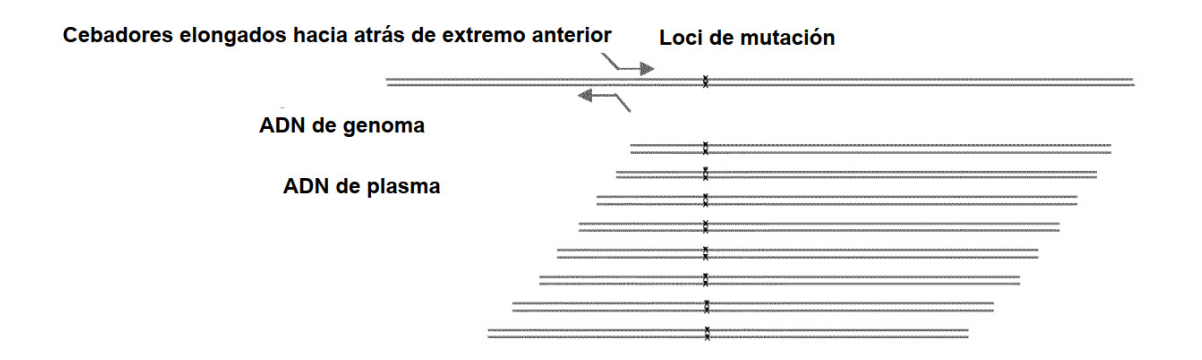


Fig. 1



Fig. 2

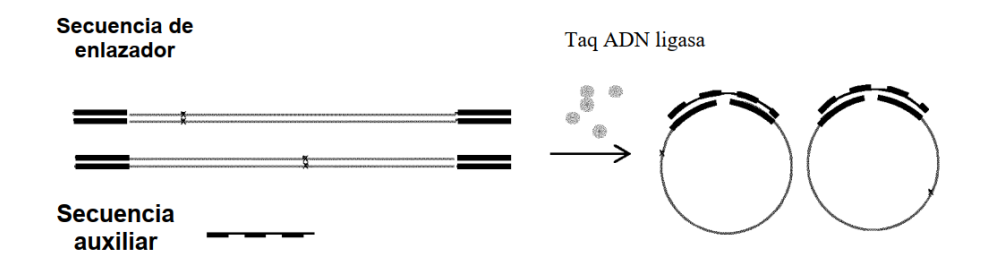


Fig. 3

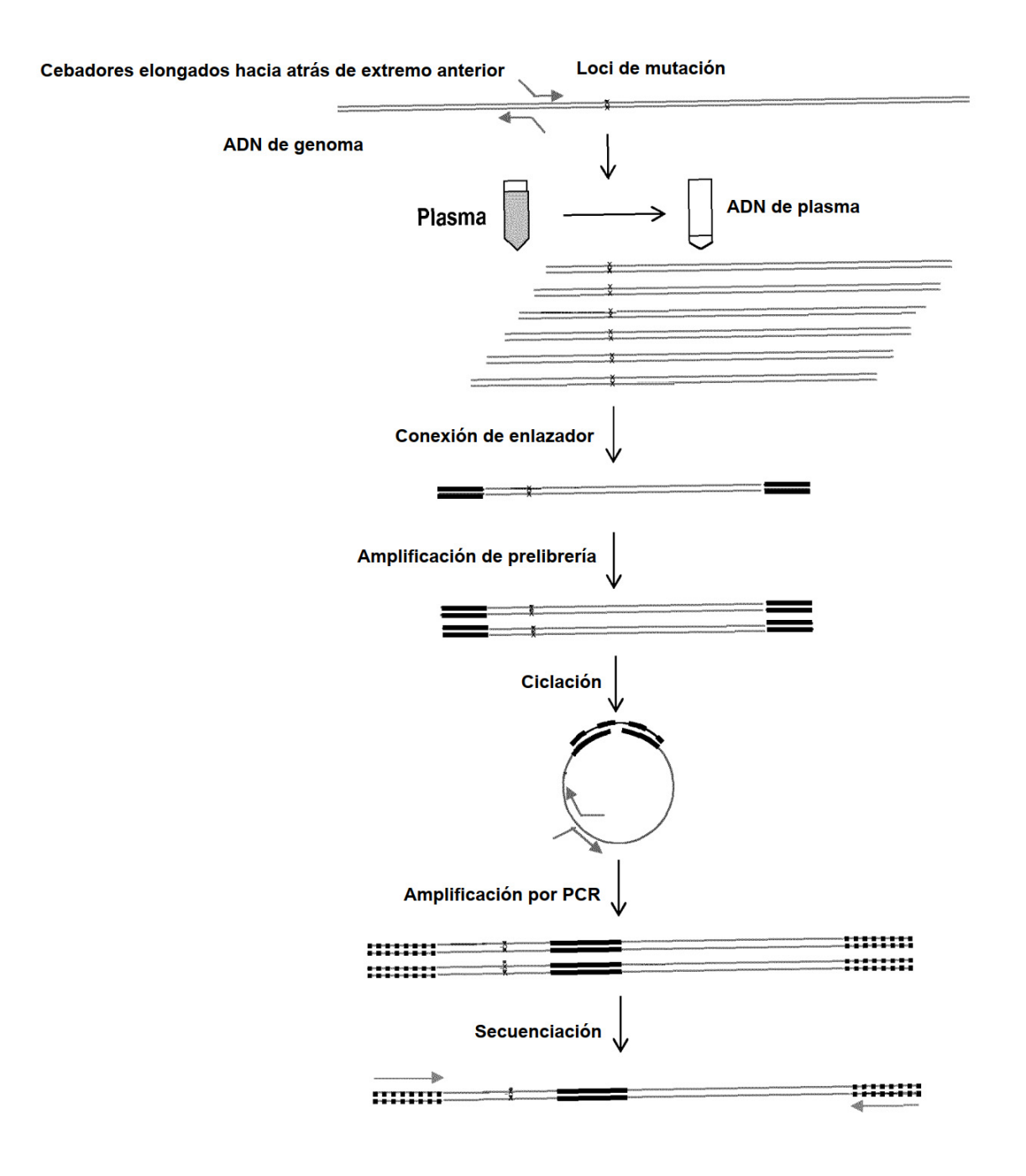


Fig. 4